

Získané vady

Z. Rozkydal

Získané vady

Statické vady dolních končetin

Poruchy epifýz a epifyzárního růstu

Deformity v důsledku jiných chorob

Poúrazové deformity

Statické vady dolních končetin

Genu valga

Genua vara

Pes planovalgus

Hallux valgus

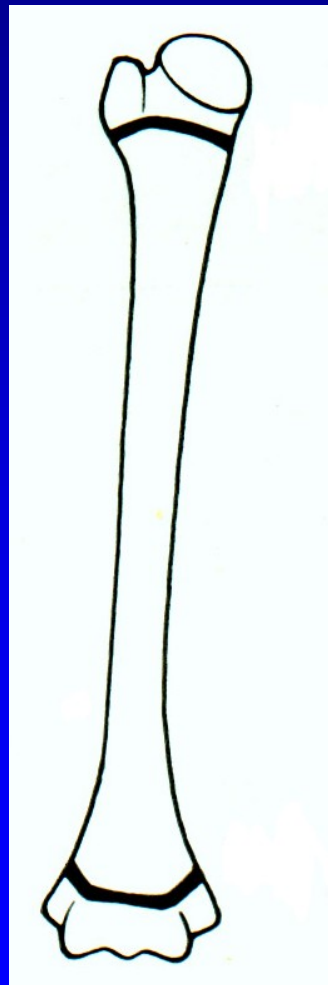
Digitus hamatus

Poruchy epifýz

Patří sem hlavně
idiopatické avaskulární
nekrózy epifýz

Etiologie je neznámá

Obr. 1



epifýza
metafýza

diafýza

metafýza
epifýza

M. Calvé-Legg- Perthes

Je to komplikace nekrózy proximální epifýzy femuru

4 -12 let

10% oboustranně

4x častěji chlapci

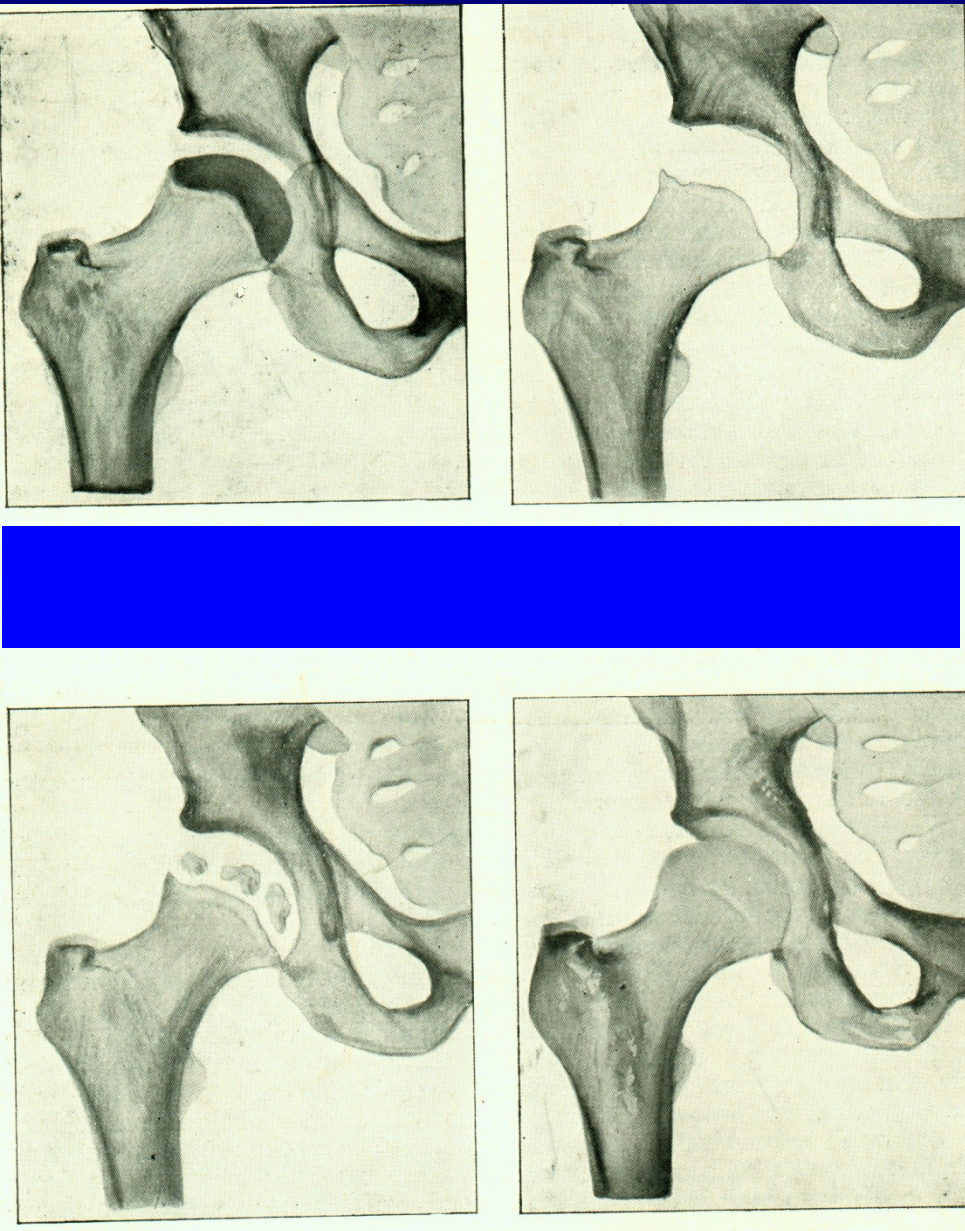
Klinické projevy: kulhání, bolest omezený pohyb (rotace a abdukce)



Obr. 2

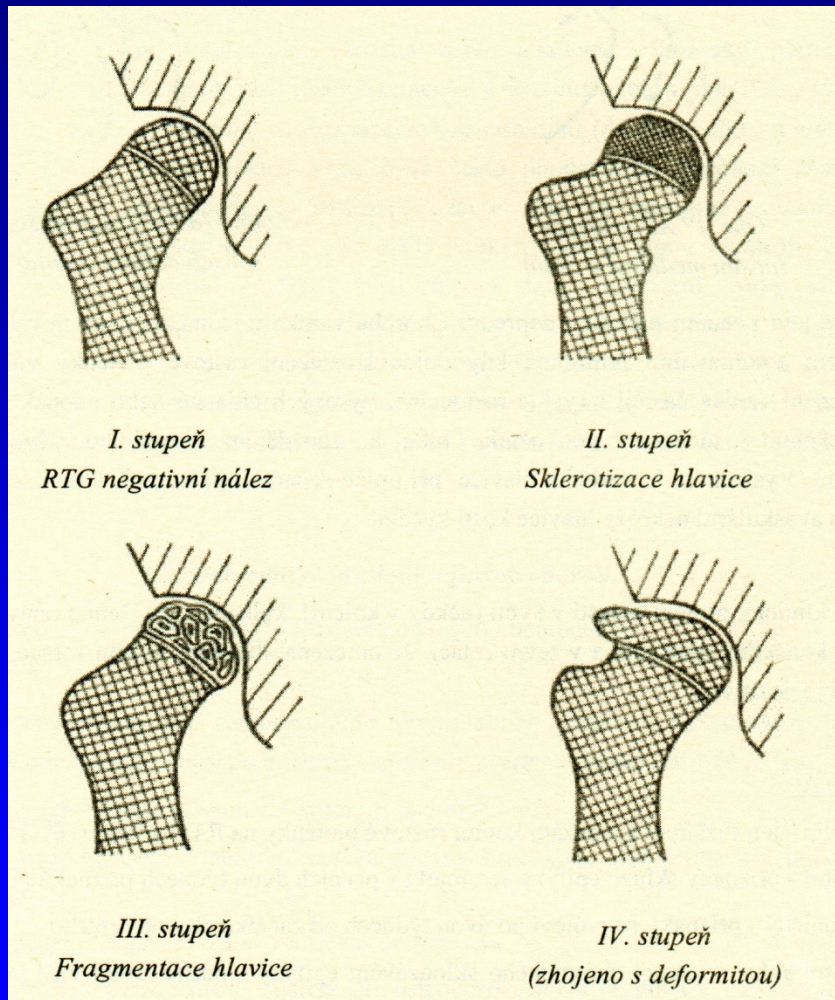
Stadia podle Frejky

1. St. latence 6 - 18 měsíců
2. St. nekrotického zhuštění
3. St. odvápnění
4. St. reparace
5. Pozdní stadium
deformačních změn

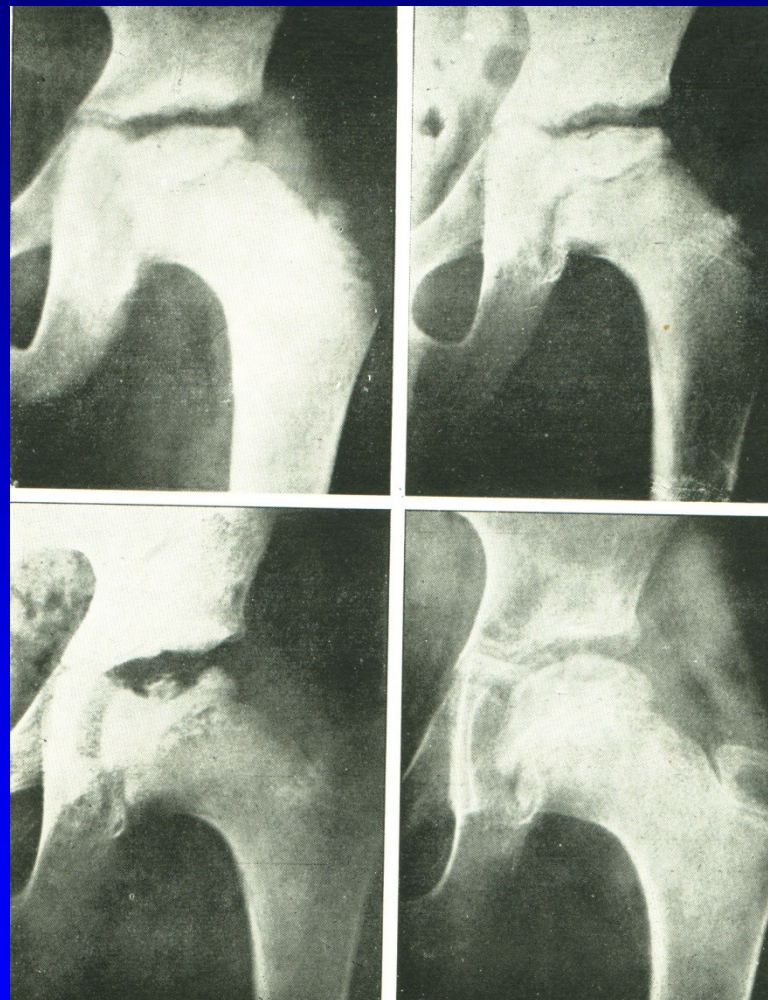


Obr. 3

Stadia idiopatické avaskulární nekrózy



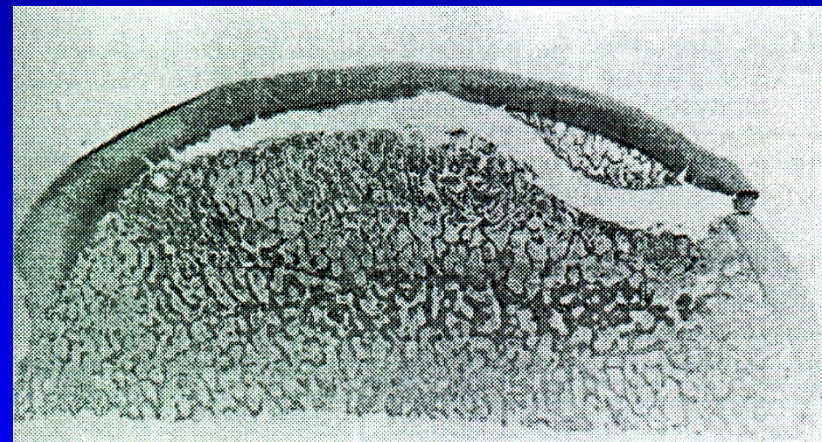
Obr. 4



Obr. 5

M. Calvé-Legg- Perthes

Ischémie postihuje celou epifýzu
Růst kloubní chrupavky pokračuje
Kost je rezorbována a nahrazenou
plst'ovitou nezralou kostí
Tato kost je měkká a vulnerabilní
Vzniká bolestivá
subchondrální fraktura
Ukazuje na rozsah postižení
Nová plst'ovitá kost je pozvolna
revaskularizována
Nová kost je plastická
a je tvarována podle zátěže



Obr. 6
Subchondrální fraktura
hlavice femuru

M. Perthes

1. ischemická fáze: avaskulární nekróza
zástava růstu epifýzy
revaskularizace z periferie
obnova osifikace

2. ischemická fáze: trauma, subchondrální fraktura
rezorpce pod frakturou
náhrada plastickou kostí
subluxace, deformita

Dělení podle Cateralla

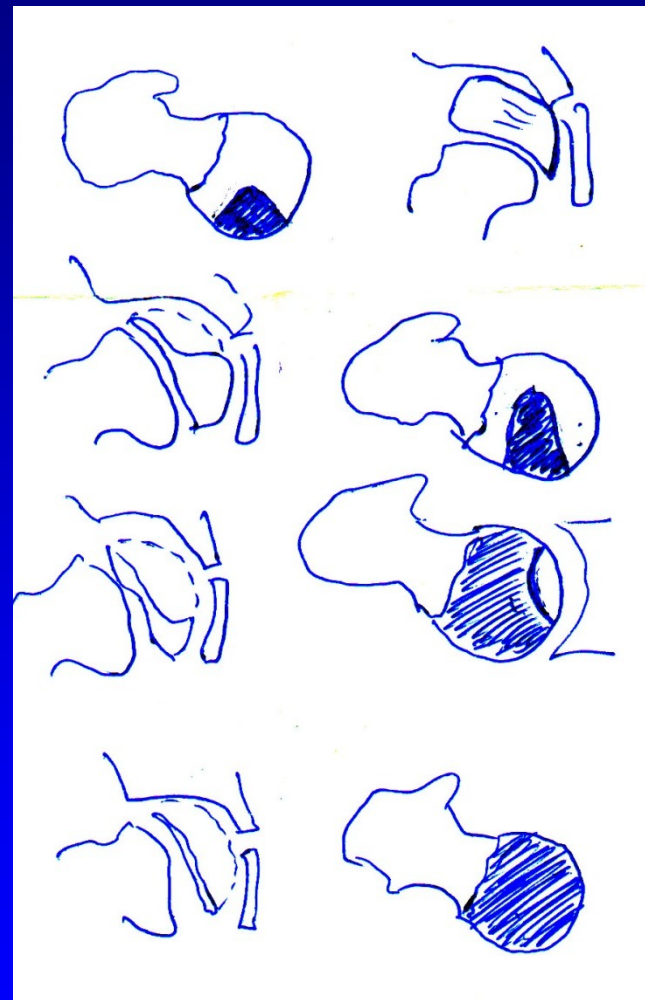
I. 25 %

II. 50 %

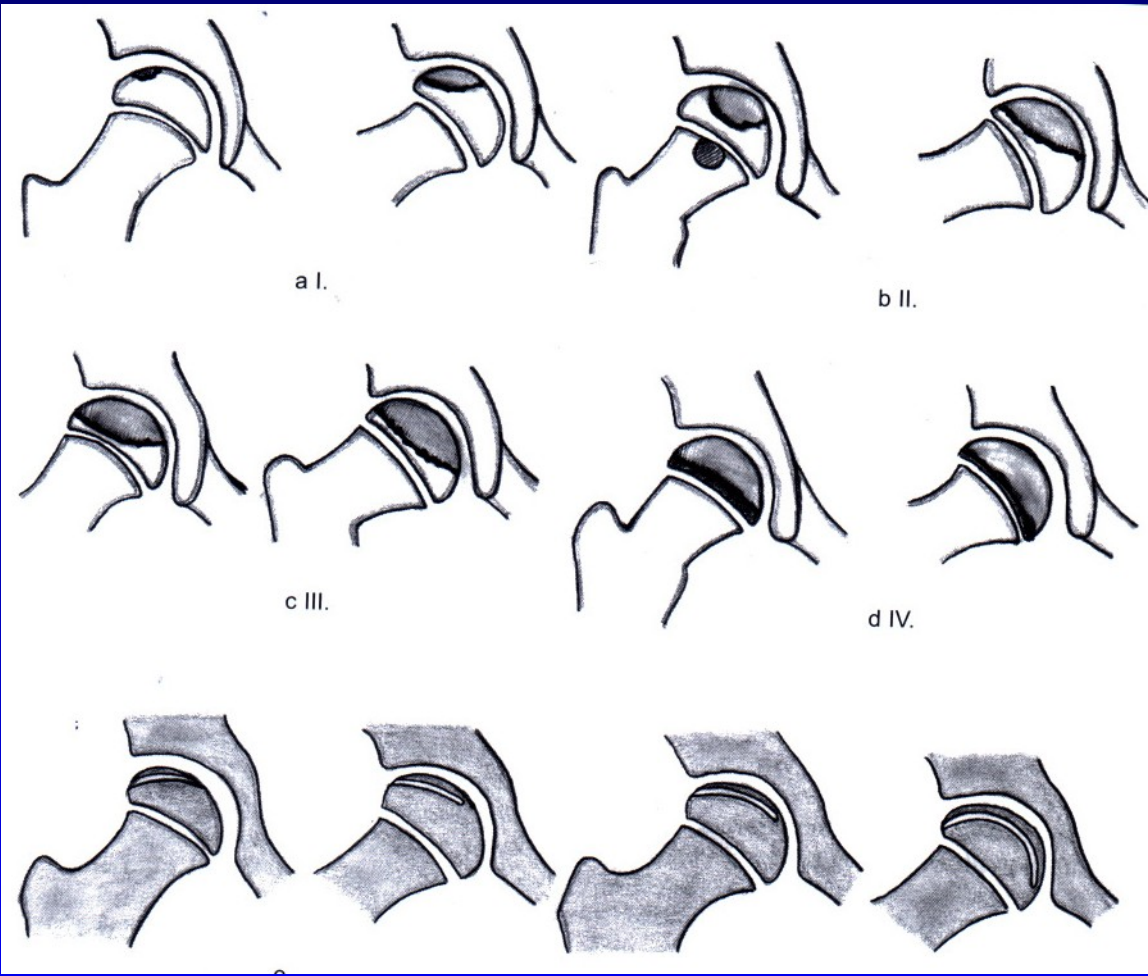
med.- laterální pilíř

III. 75 %

IV. 100 %

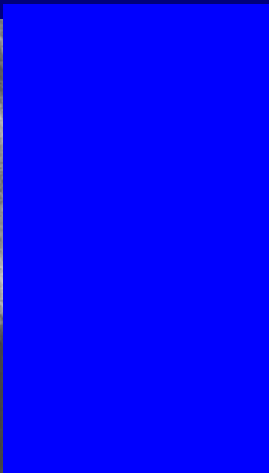


Obr. 7



Subchondral fx
less than one half

Subchondral fx
more than one half



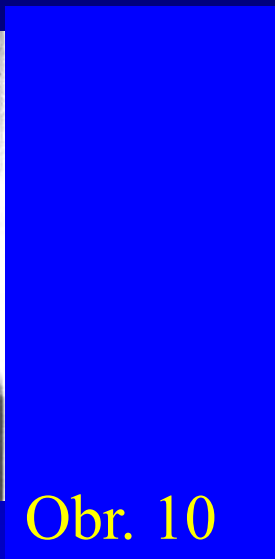
Caterall I

Obr. 8

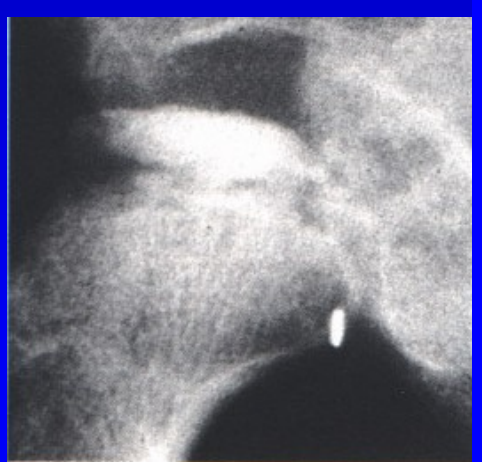


Caterall II

Obr. 9



Caterall III



Obr. 11



Caterall IV

Dělení podle Saltera

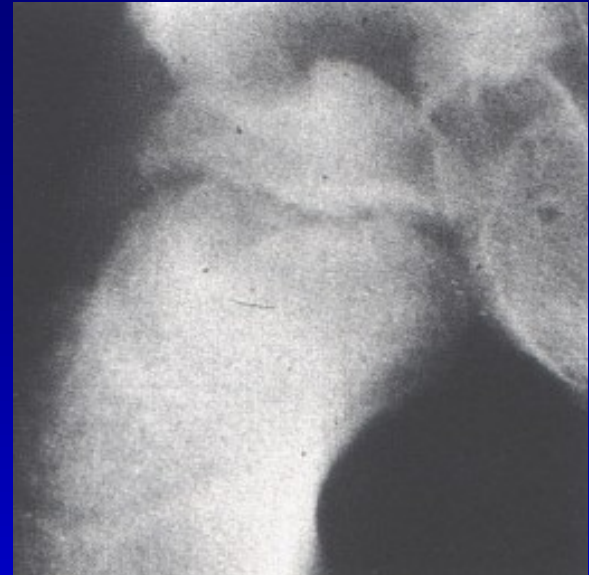
A Caterall I. a II.

postiženo méně než 1/2 hlavice

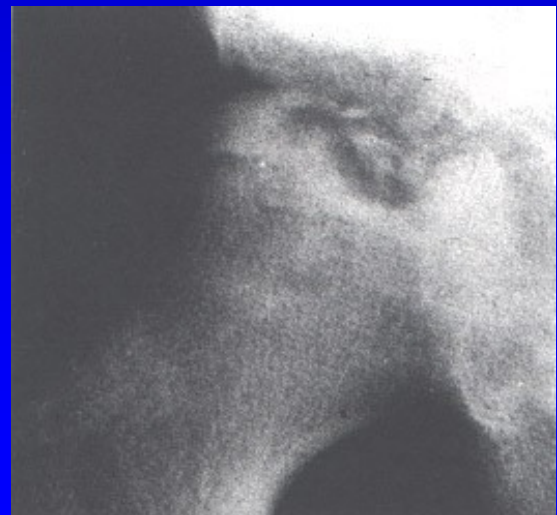
menší subchondrální fraktura

zachován laterální pilíř

konzervativní léčba



Obr. 12



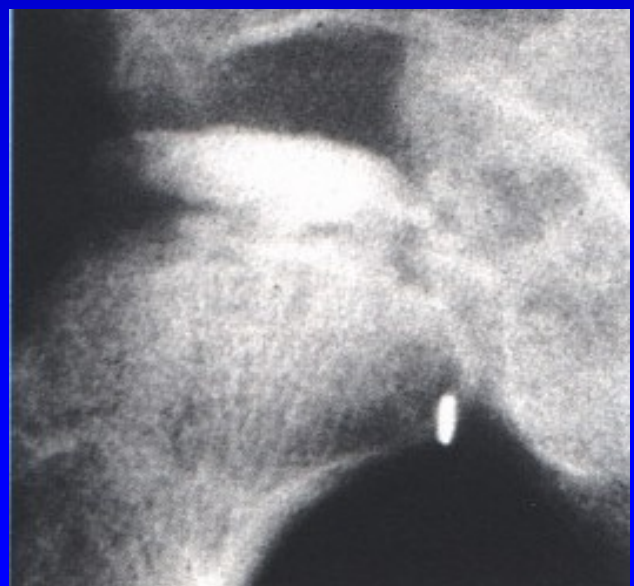
Obr. 13

Dělení podle Saltera

B Caterall III. a IV.
postiženo více než $\frac{1}{2}$ hlavice
velká subchondrální fraktura
chybí laterální pilíř
operativní léčba



Obr. 14



Obr. 15

Vyšetření

RTG

Artrografie

CT - 3 D rekonstrukce

MRI

Scintigrafie

Ultrasonografie

Prognóza

I. a II. stupeň - dobrá prognóza

III. a IV. stupeň - špatná prognóza

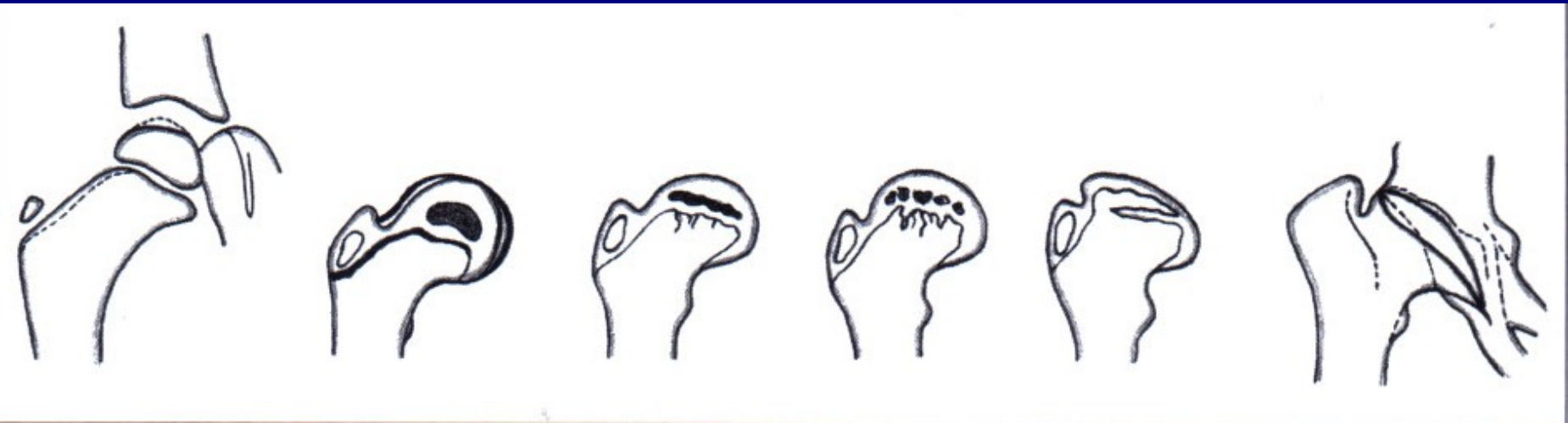
Rizikové faktory:

vyšší věk

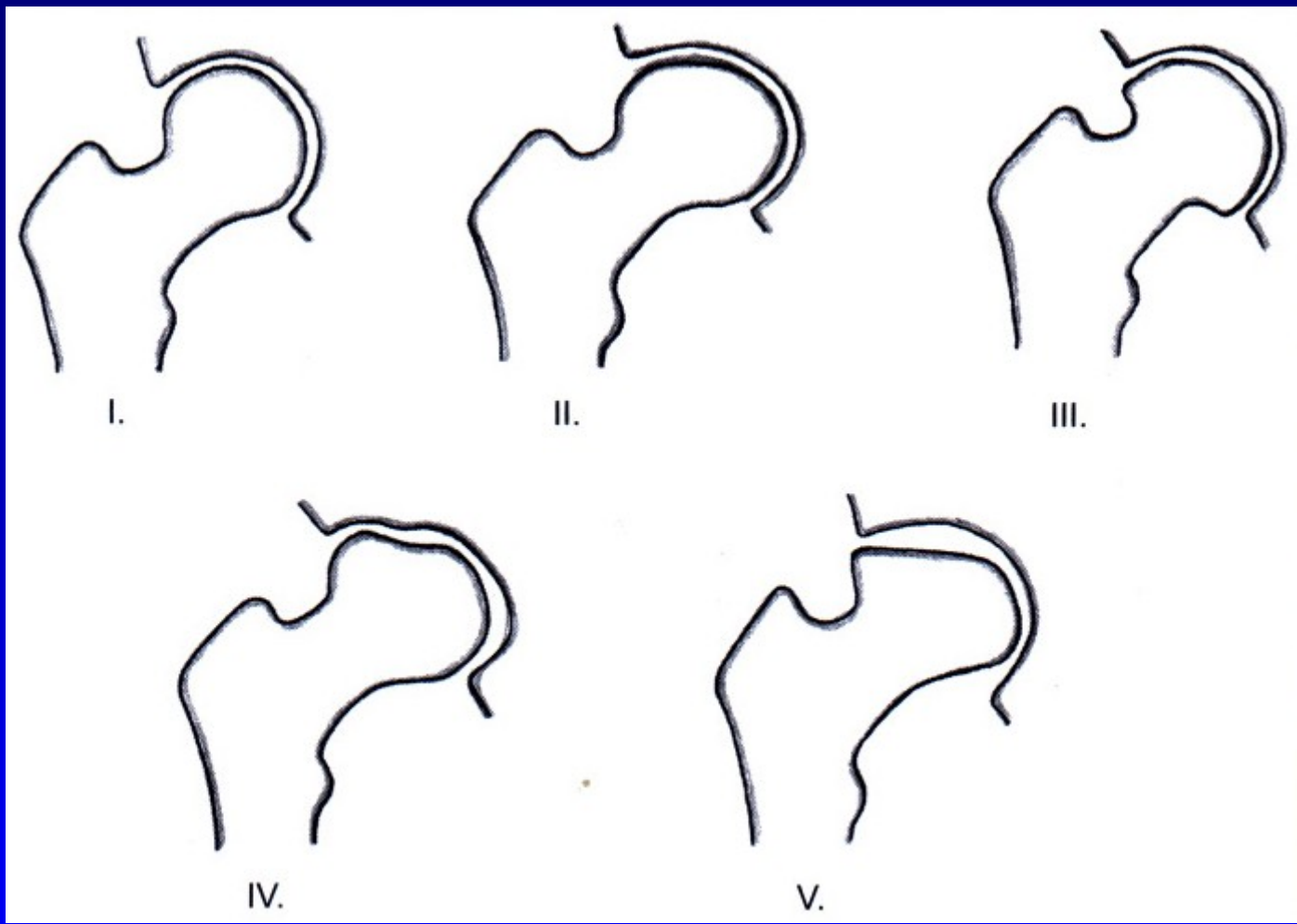
větší rozsah ložiska

ztráta containmentu, subluxace

ztráta pohybu



Types of deformity in Perthes disease



Stulberg classification of deformity
of the femoral head in Perthes disease

Léčba

- zachovat pohyb v kyčelním kloubu
- containment - udržení hlavice hluboko v acetabulu

Konzervativní metody:

- odlehčení, Thomasova dlaňa
- Atlanta ortéza (nejistý výsledek)

Operační metody:

Osteotomie pánve (Salter, Steel, Chiari, Sutherland)

Plastika stříšky

Varizačně- derotační osteotomie femuru

Valgizačně – extenční osteotomie femuru

Transpozice velkého trochanteru

Konzervativní metody

Klid na lůžku
Závěs
Berle
Thomasova dlaha
Atlanta ortéza
Snyderův závěs

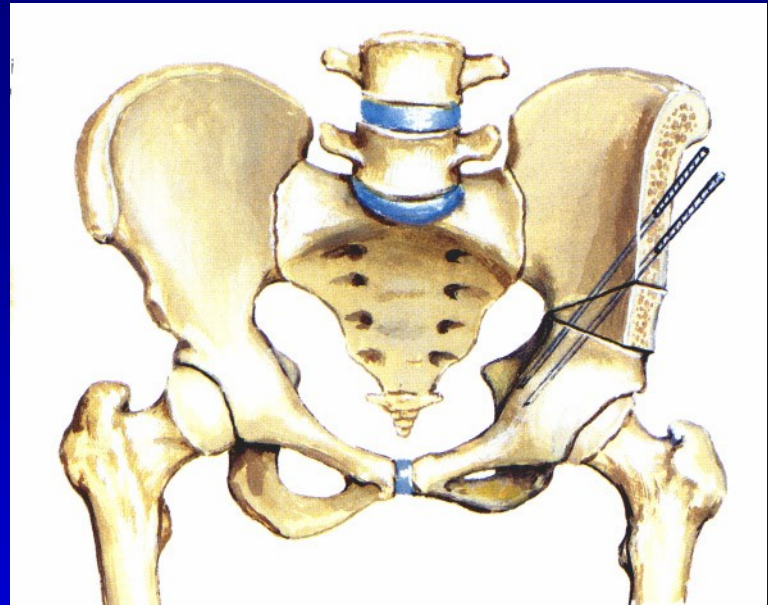


Obr. 16
Atlanta ortéza

Operativní metody

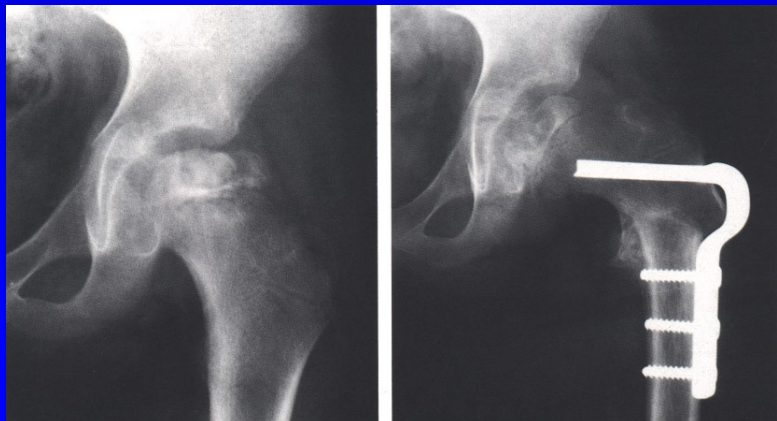
Osteotomie pánve
sec. Salter

Obr. 17

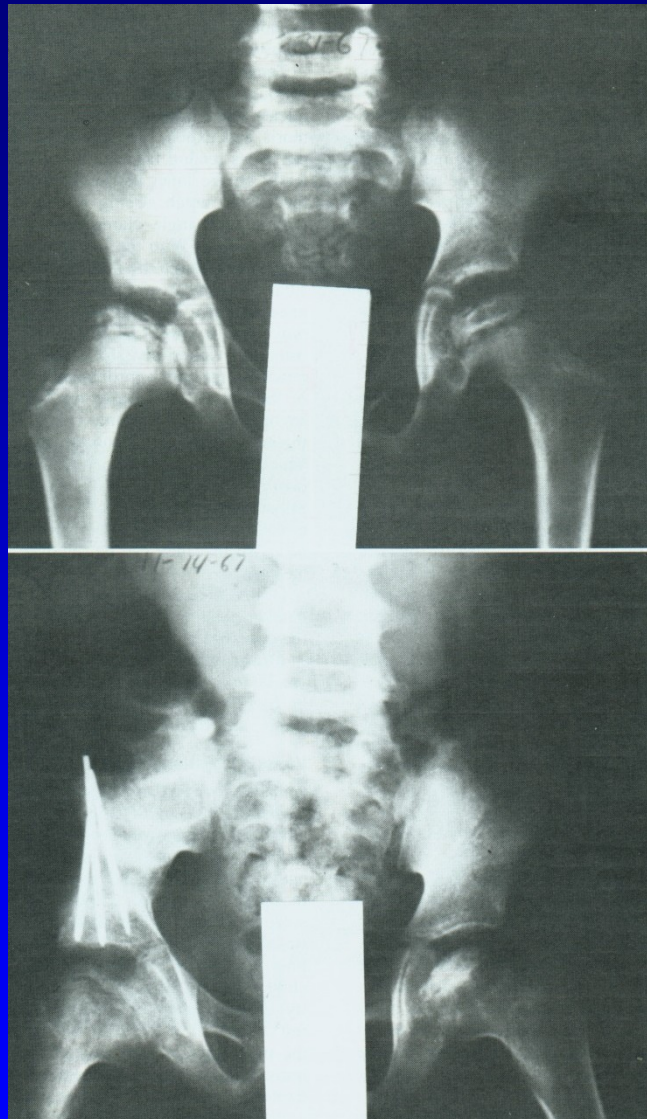


Varizační osteotomie
femuru

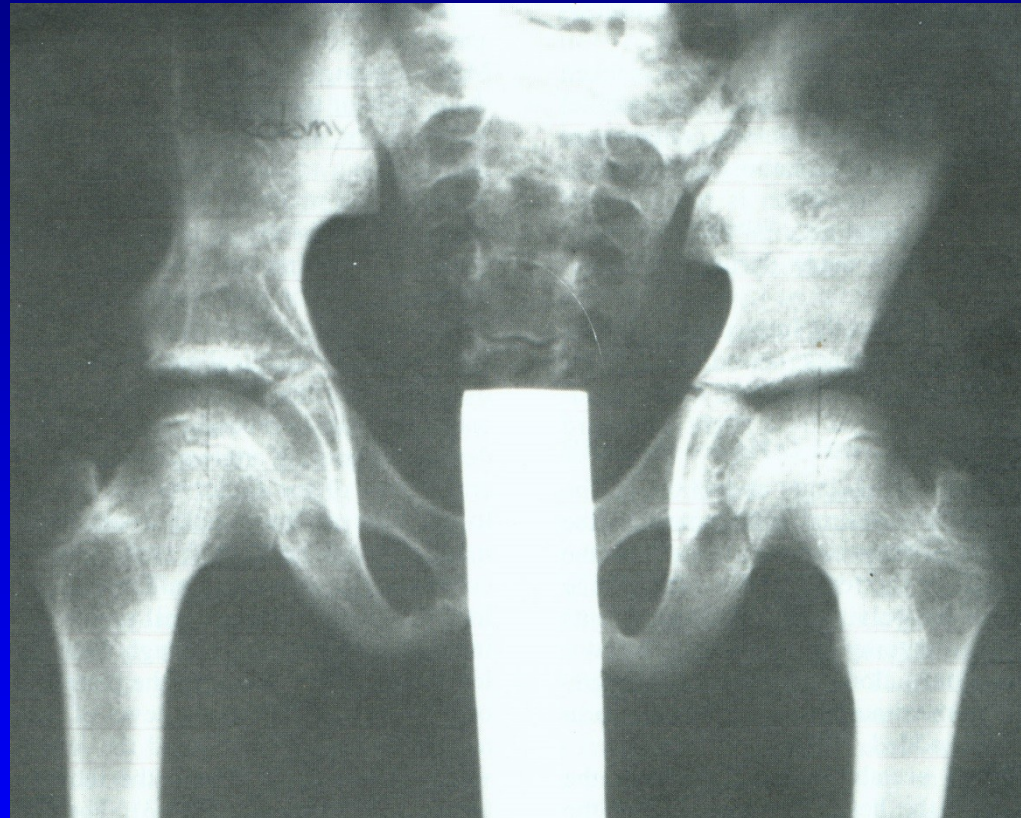
Obr. 18



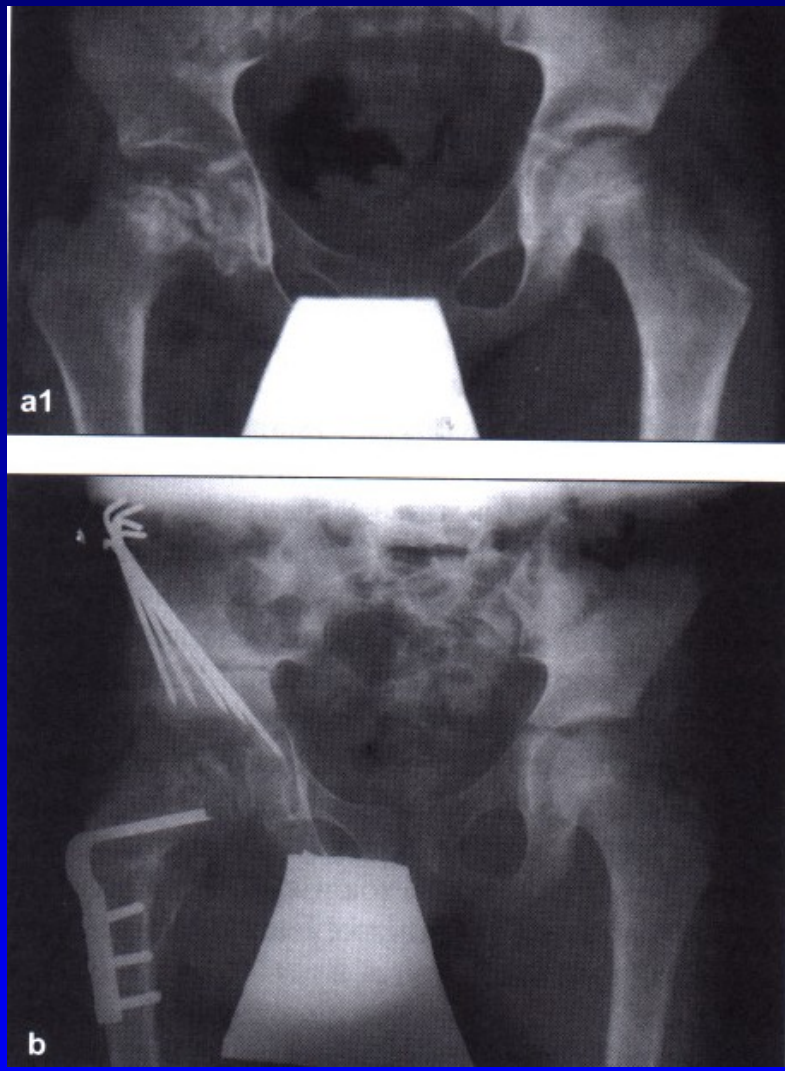
Op. sec. Salter



Obr. 19



Obr. 20



Perthes disease on the right hip
after Salter osteotomy
Almost normal hip in 18 years of age

Následky m. Perthes

coxa plana

zkratek končetiny

omezení pohybu

předčasná deformující artróza

Prognóza je lepší:

dítě je mladší

menší stupeň postižení

není laterální subluxace



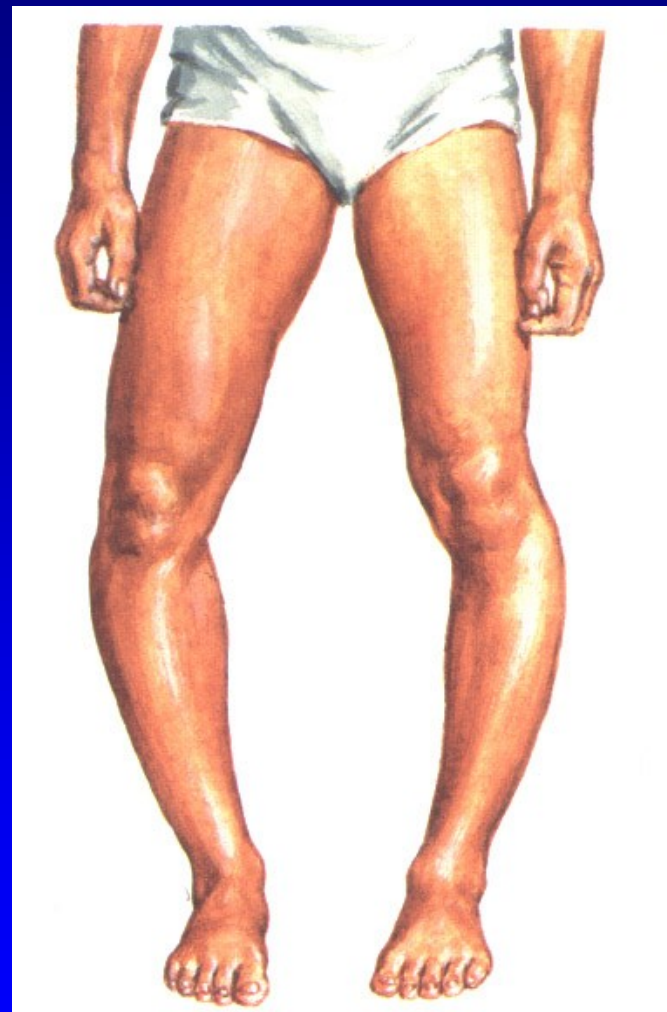
Tibia vara Blount

Porucha růstu mediální části
růstové ploténky tibie

Předčasný uzávěr RP mediálně
Zmenšení epifýzy mediálně

Typ infantilní – do 3 let
Typ juvenilní - do 10 let

Th: odlečení, ortézy
korekční osteotomie

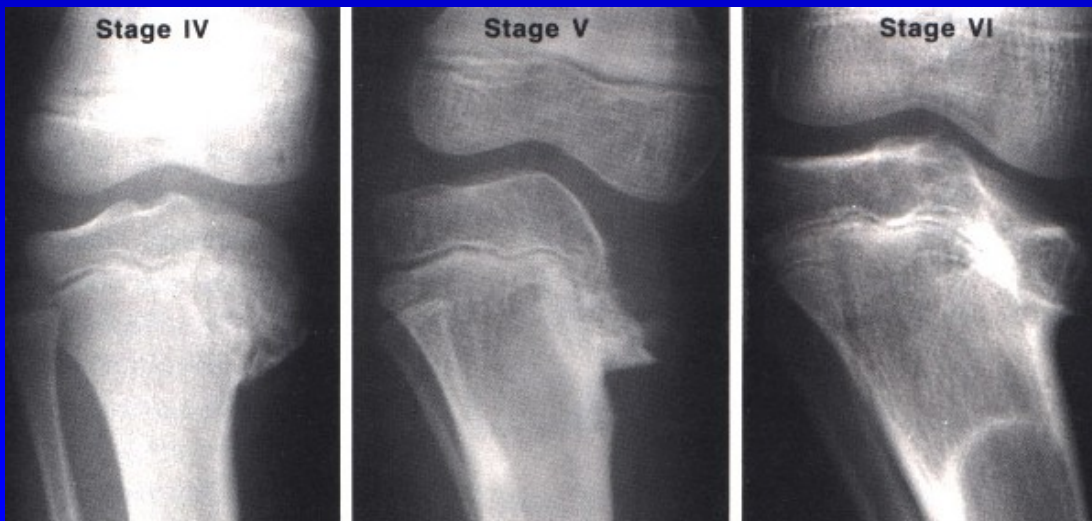


Obr. 22

Tibia vara Blount



Obr. 24



Obr. 25

Coxa vara adolescentium

Je to porucha epifyzárního růstu
Oslabení růstové ploténky
Nerovnováha mezi růstovým
hormonem a pohlavními hormony
Obézní jedinci
Fröhlichův syndrom
Adiposogenitální syndrom
9-15 let
1/3 oboustranný výskyt

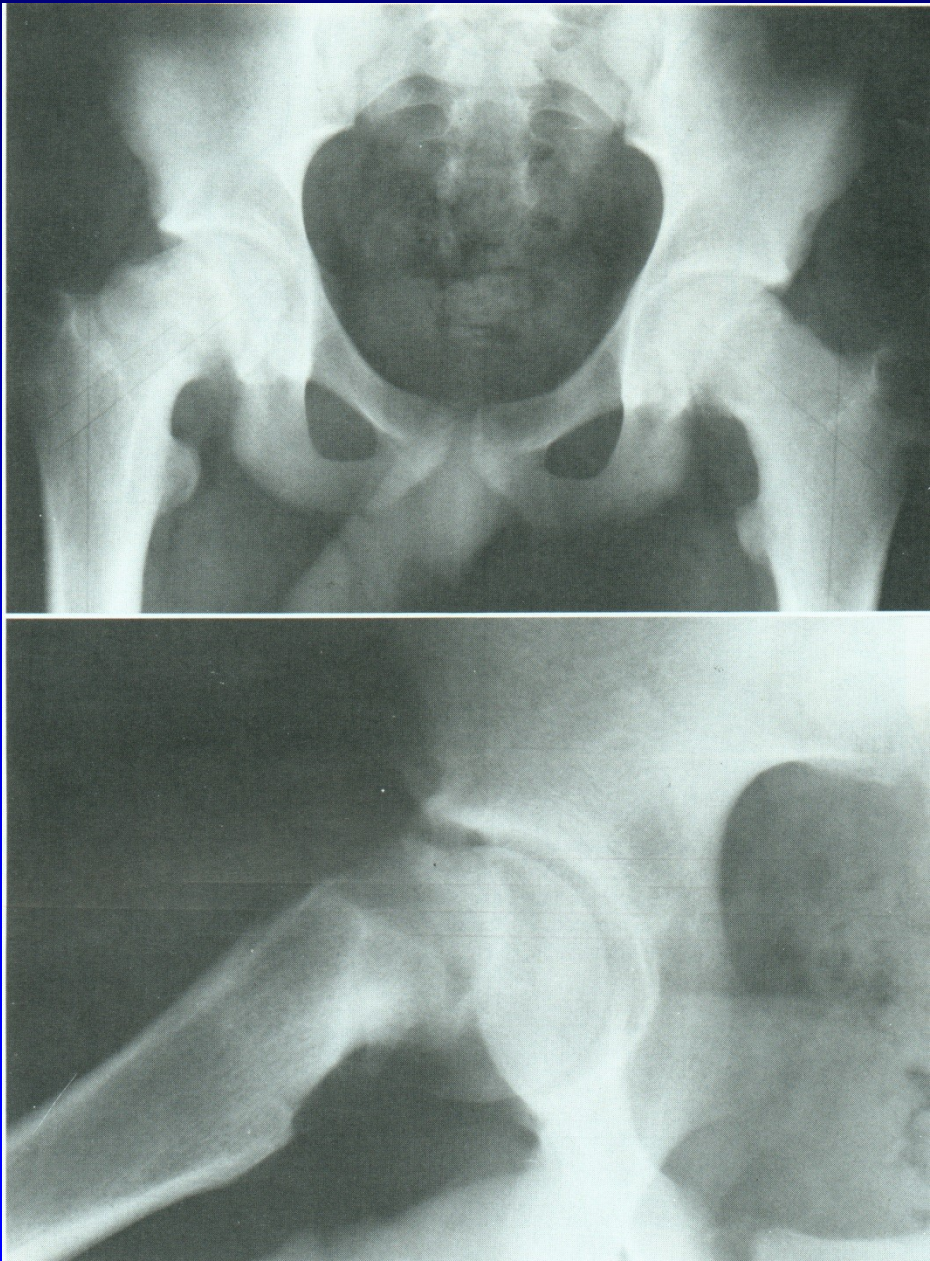


Obr. 26

CVA

Pozvolný nebo náhlý
skluz proximální epifýzy
femuru dolů , dozadu
do varozity a retroverze,
metafýza femuru jde
proximálně a zevně.

Obr. 27

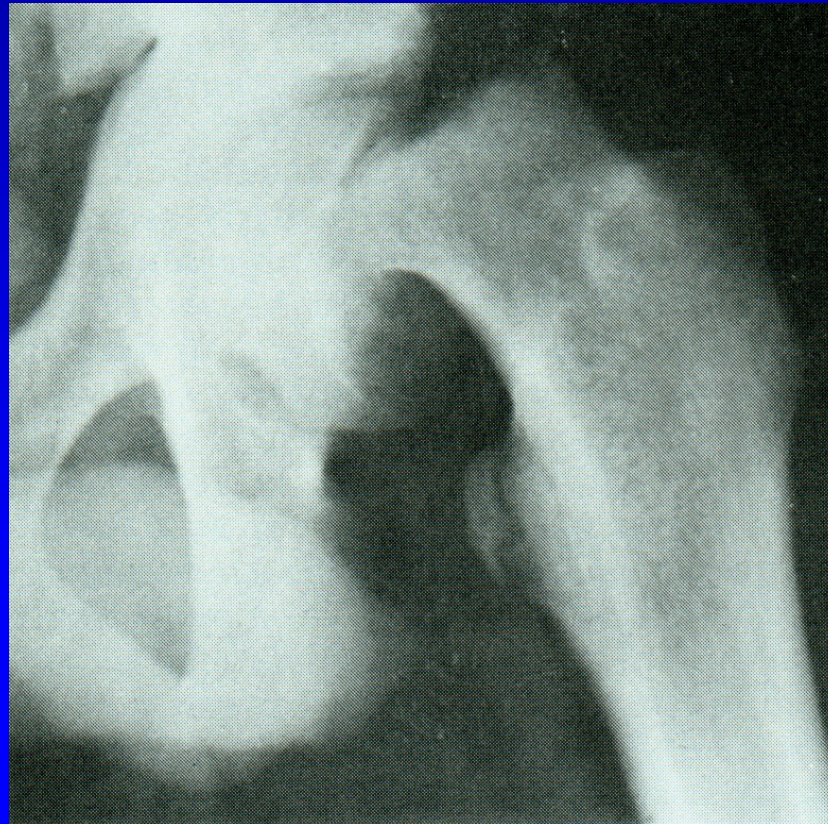


Klinické příznaky:

Bolest v kyčli, někdy v koleni, kulhání
končetina je zkrácena v zevní rotaci

Omezena abdukce a vnitřní rotace

Trendelenburgův příznak je pozitivní



Obr. 28

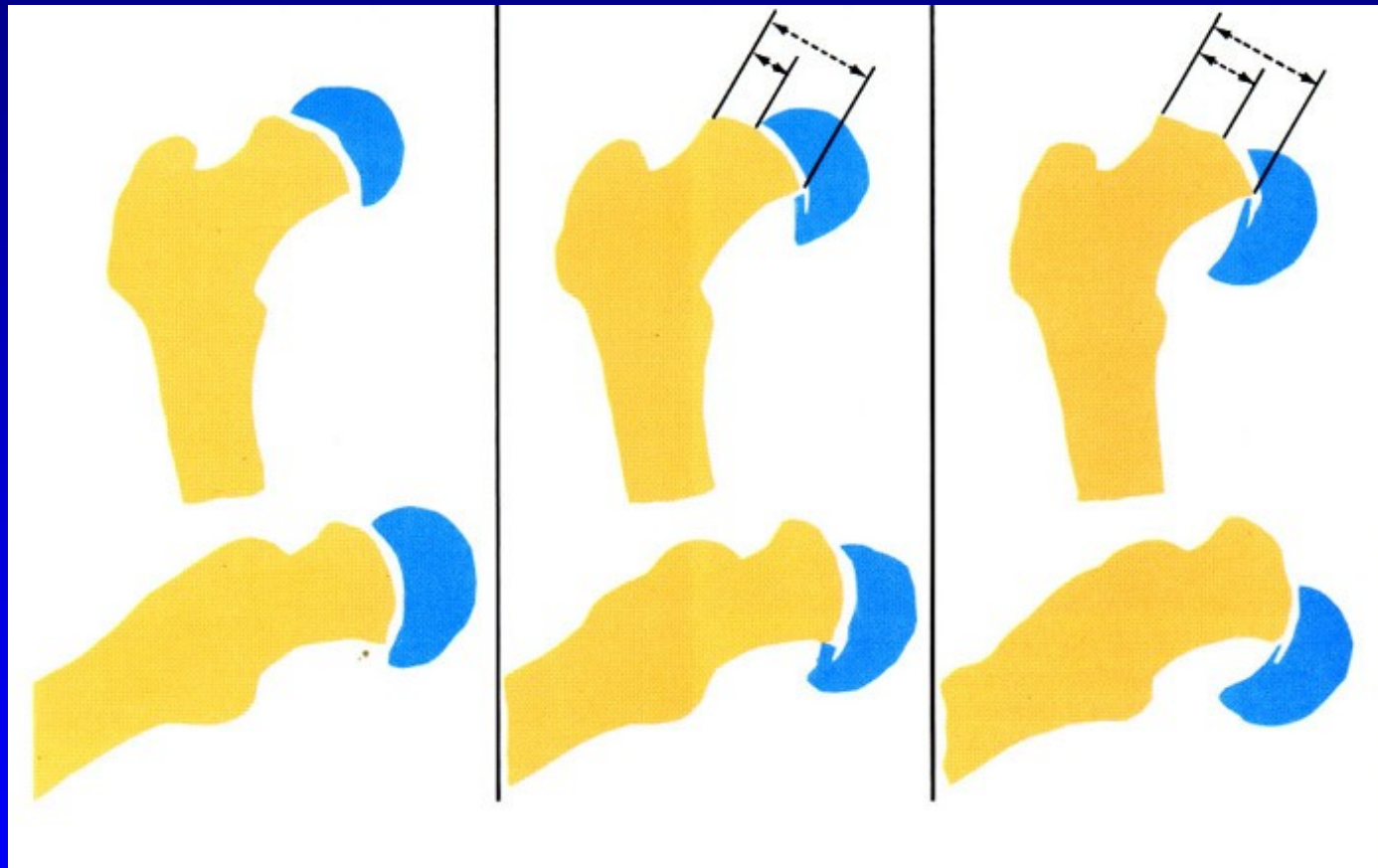
Typy CVA:

1. Preslip (6%)
2. Akutní skluz (11%)
3. Chronický skluz (po 2 týdnech, 60 %)
4. Akutní skluz v situaci chronického sklouzavání (23%)



Obr. 29

Stupeň CVA



Obr. 30

1.

2.

3.

Stupeň CVA

1. Lehký: úhel do 30%, skluz o $1/3$ průměru hlavice
2. Středně těžký: úhel 30-60 %, skluz $1/3\text{-}1/2$ průměru hlavice
3. Těžký: úhel nad 60 %, skluz o více jak $1/2$ průměru hlavice

Léčba

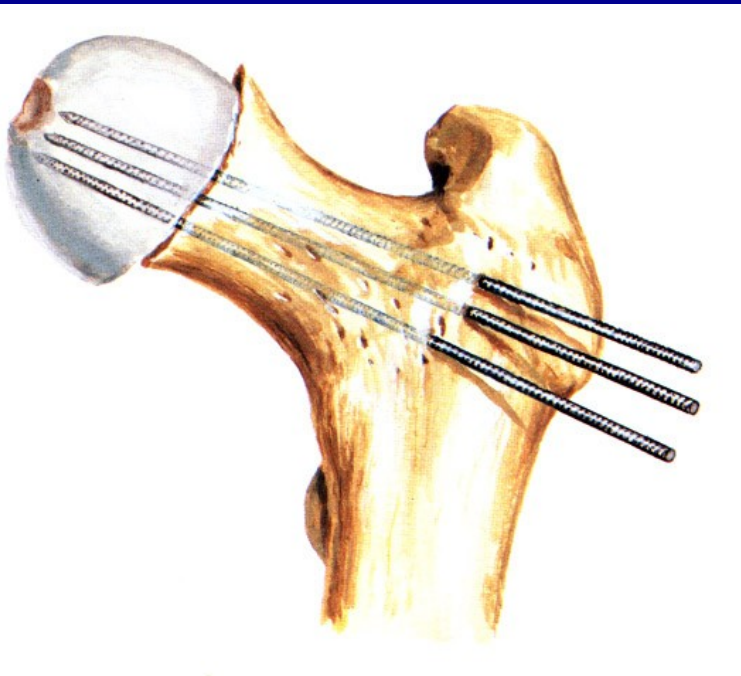
Fixace in situ (K dráty, šrouby) -
u lehkých skluzů

Zavřená repozice a fixace K dráty -
u středních a těžkých skluzů

Výjimečně - otevřená repozice

Osteotomie v pertrochanterické krajině -
Southwick, Imhäuser-Weber

Fixace in situ

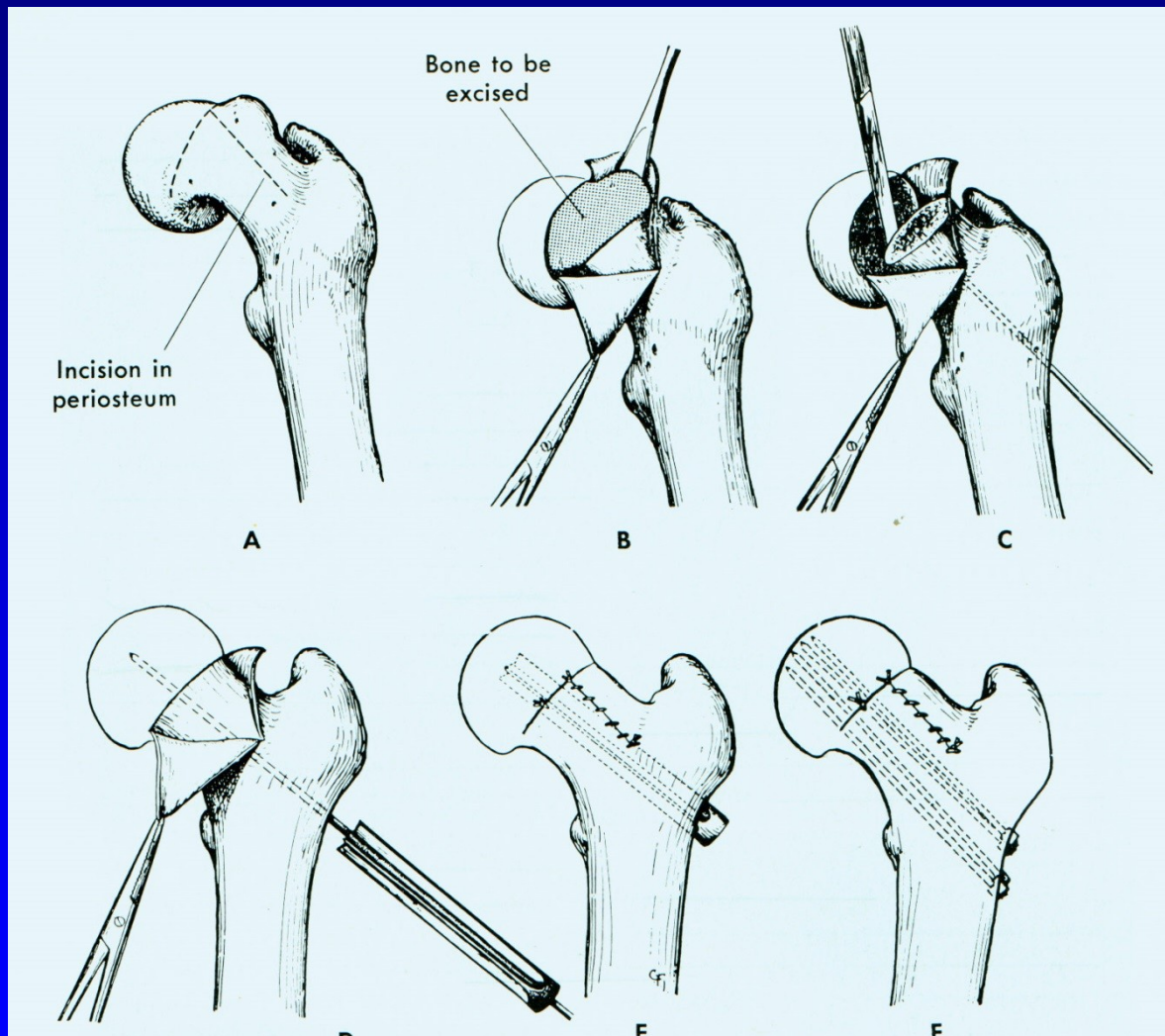


Obr. 31



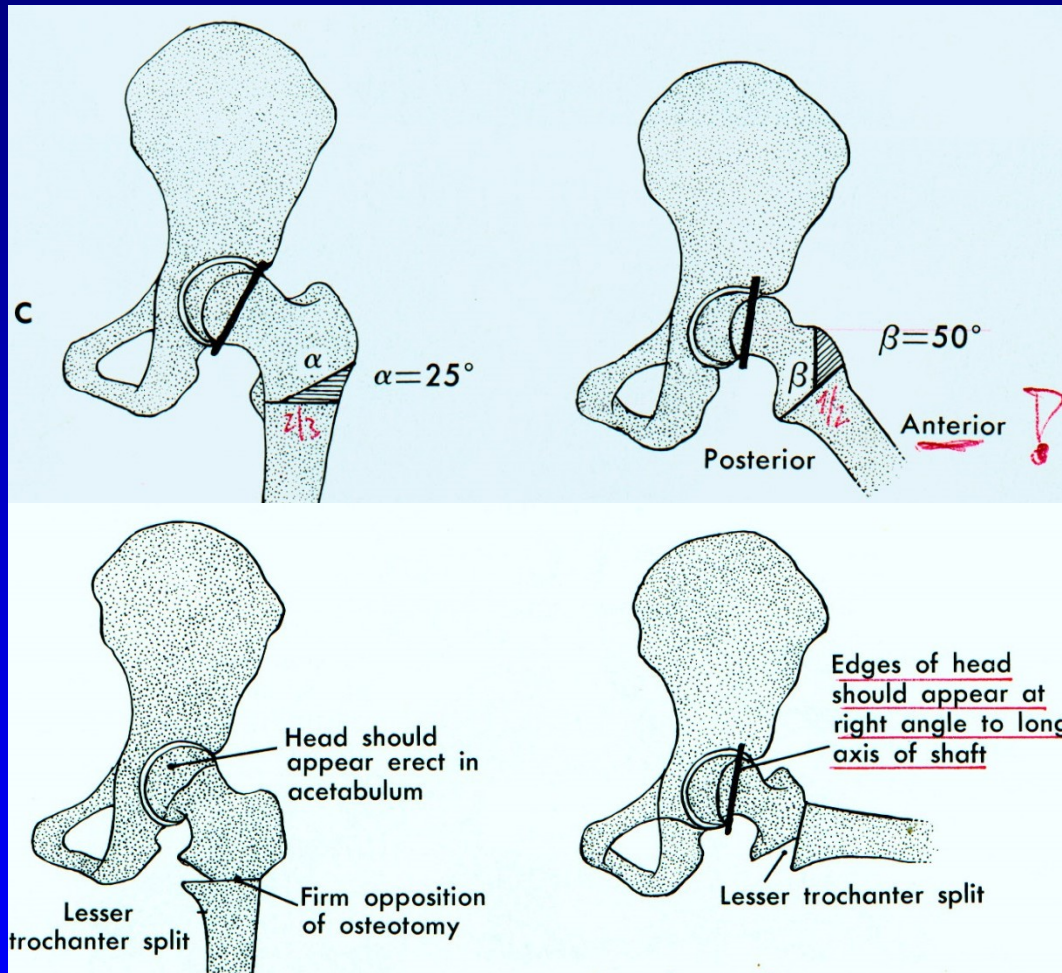
Obr. 32

Otevřená repozice a fixace hřeby



Obr. 33

Osteotomia sec. Southwick



Obr. 34

Petrochanterická osteotomie femuru - CVA



Obr. 35

Komplikace CVA

Avaskulární nekróza hlavice femuru

Chondrolýza hlavice femuru

Osteoartróza kyče

Necrosis ossis lunati m. Kienböck

Terapie:

Klid

Imobilizace

Exstirpace kosti + smotek šlachy

Náhrada implantátem



Obr. 36

M. Köhler I. - necrosis ossis navicularis

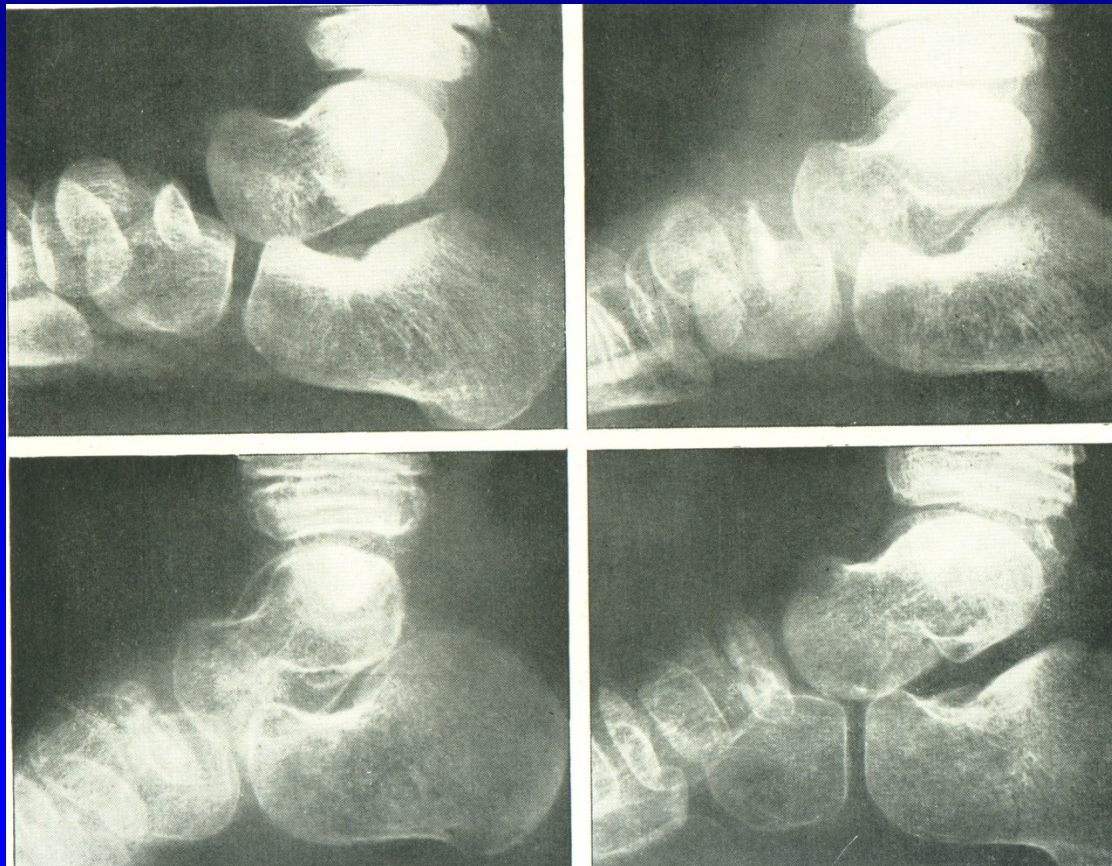
Terapie:

Klid

Imobilizace

Náhrada kostním štěpem

Artrodéza



Obr. 37

M. Köhler II.

M. Freiberg-Köhler

Necrosis capitis
metatarsi

Terapie:

Klid, odlehčení

Vložky, ortézy

Operace:

Snesení nekrotické části

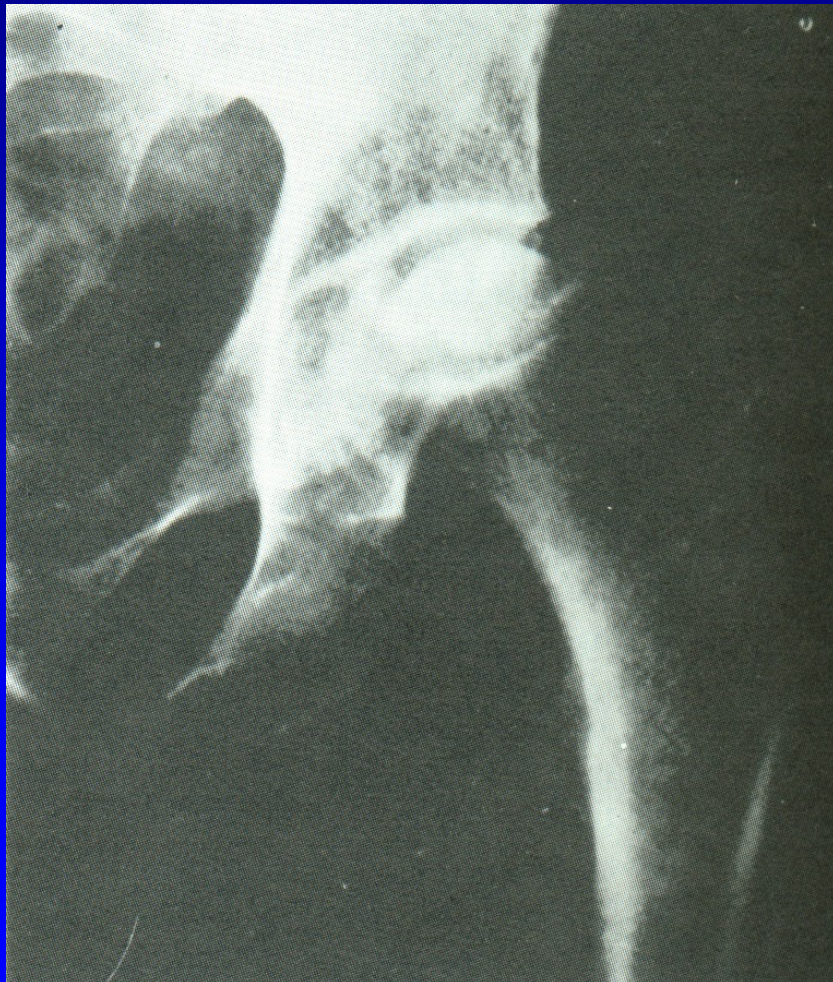
Plastika

Osteotomie



Obr. 38

Idiopatická avaskulární nekróza hlavice femuru



Etiologie je neznámá

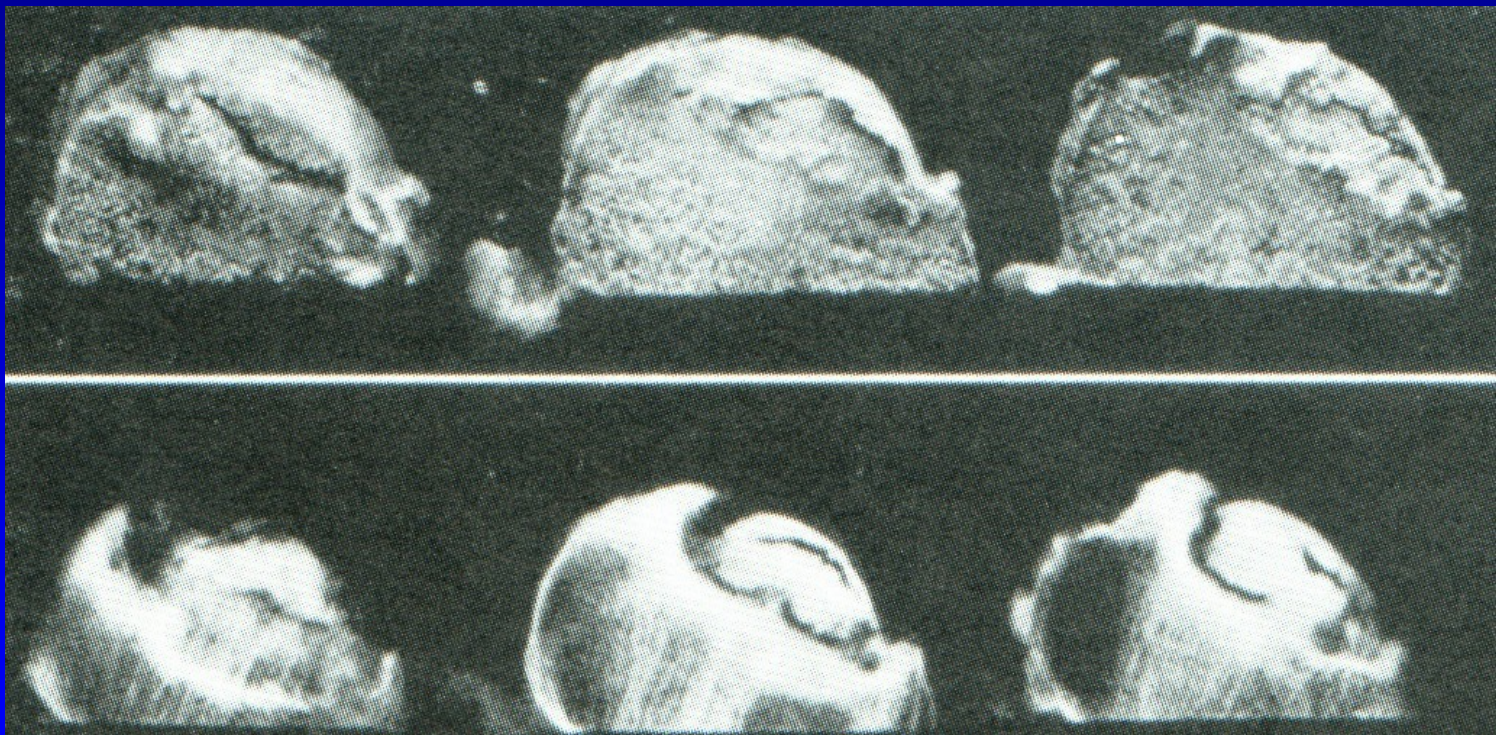
Bolesti

Nemožnost pohybu

Omezení pohybu

Obr. 39

Idiopatická avaskulární nekróza hlavice femuru



Obr. 40

Idiopatická avaskulární nekróza hlavice femuru - léčba

Odlehčování, berle

Forrage, spongioplastika

Osteotomie -varizační, valgizační, derotační

Artrodéza

Totální náhrada kyče

Nejasná etiologie

72 % oboustranně

Bez léčby 85 % progreduje do kolapsu

5-12 % indikací k TEP

Genetická predispozice

Známé rizikové faktory

Table 1 Conditions that may cause or are related to ONFH

Trauma

Femoral neck fracture

Hip dislocation

Extensive burns

Direct vessel trauma

Hypercoagulation

Deficit of antithrombin III

Deficit of protein C

Deficit of protein S

Resistance to activated protein C

Deficit of plasminogen activator inhibitor

Surplus of inhibitor for plasminogen activator

Factor V Leiden mutation

Secondary conditions of hypercoagulation

Corticosteroids

Alcoholism

Hemoglobinopathies

Trombofilie

kortikosteroidy

Haemoglobinopathies (sickle-cell disease)

Polycythemia

Metabolic diseases

Hyperparathyroidism

Gout

Cushing's disease

Gaucher's disease

Alimentary system diseases

Pancreatitis

Ulcerative colitis

Chrohn's disease

Other risk factors

Smoking

Decompression disease

Radiation

Chemotherapy

Hemodialysis

HIV infection

Secondary conditions of hypercoagulation

Corticosteroids

Alcoholism

Myelodysplastic syndromes

Pregnancy

Oral contraceptive use

Hyperlipidaemia

Collagen diseases

Ehler–Danlos syndrome

Raynaud's disease

Diabetes mellitus

Antiphospholipidemic antibodies (APLA)

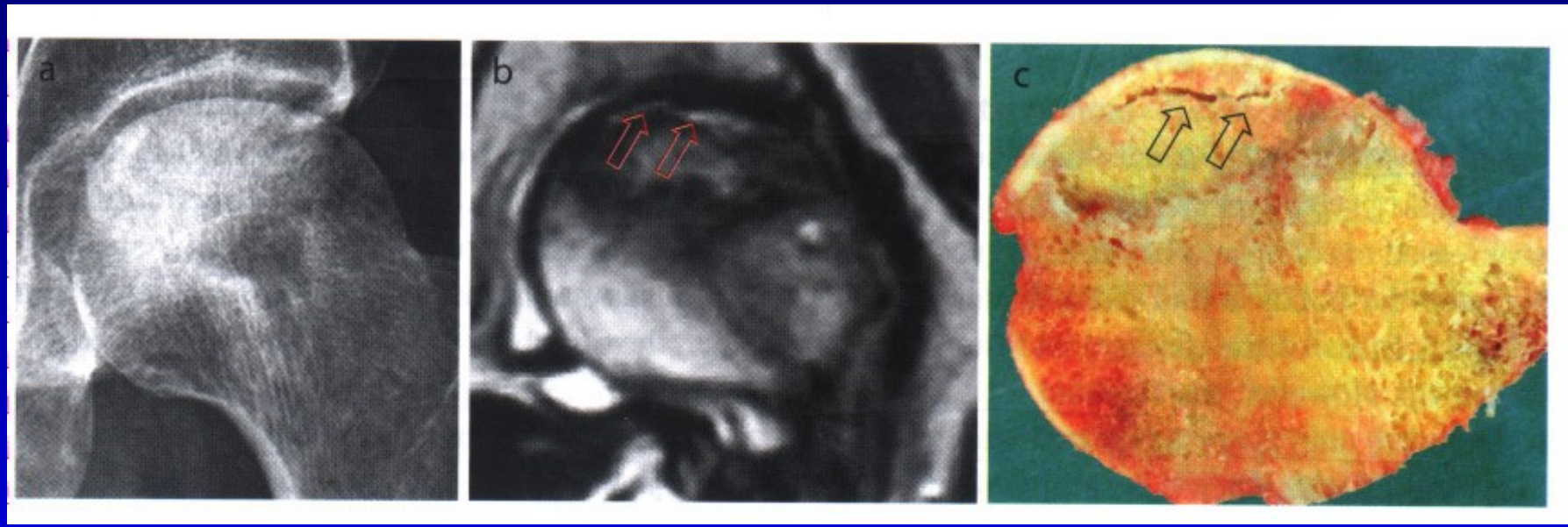
Diagnóza:

Kostní infarkt v začátku je asymptomatický

Bolesti v tříslu, kolem stehna, kyčle – nutno vyšetřit

RTG – jen pokročilé stavů

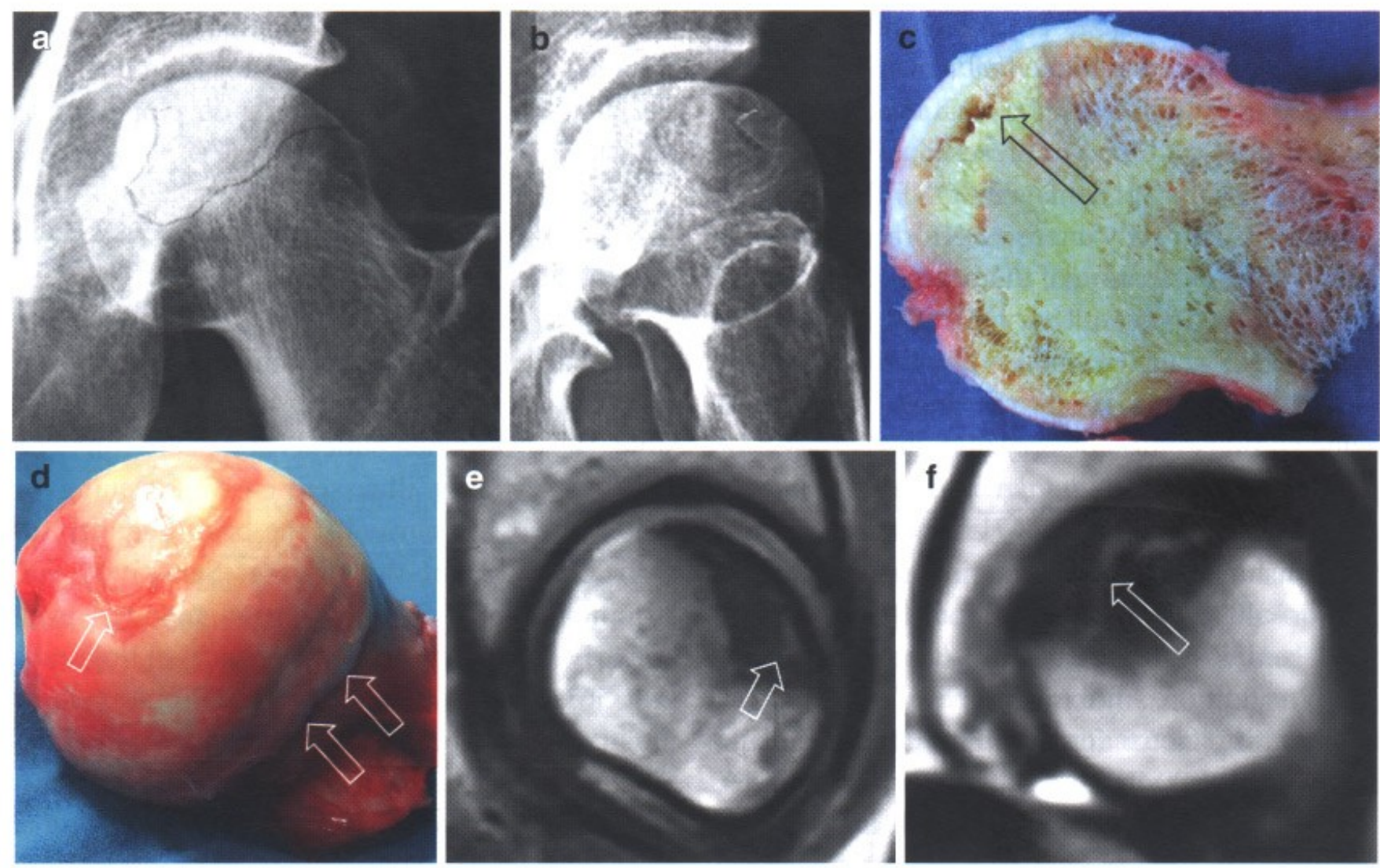
MRI



RTG
Subchondr. projeasnění

MRI

Excise hlavice



Subchondrální frakturna

Klasifikace

Ficat Arlet

ARCO

Japan

Léčba

Konz: odlehčování, berle, bisfosfonáty
rázová vlna, statiny, vasodilatancia

Oper.:

Forrage, dekomprese - navrtání hladkým pinem,
+ spongioplastika

Válcový kostní štěp - s otočením

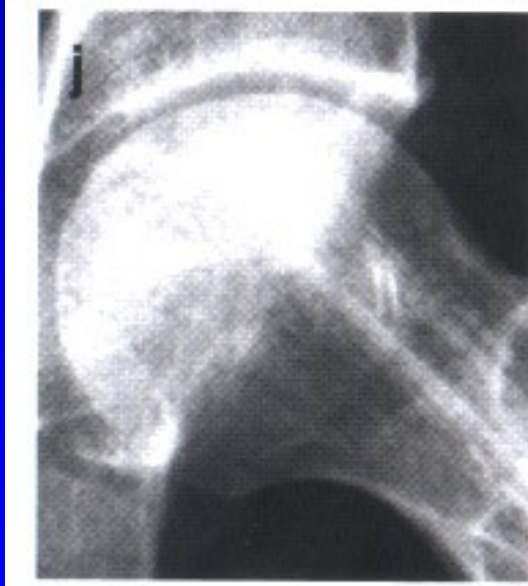
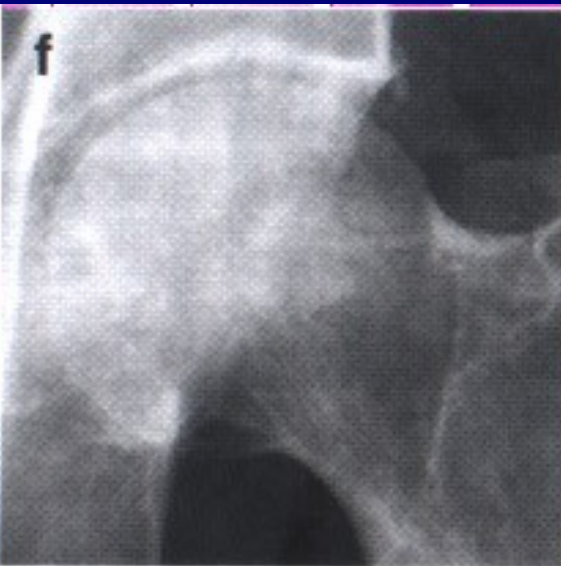
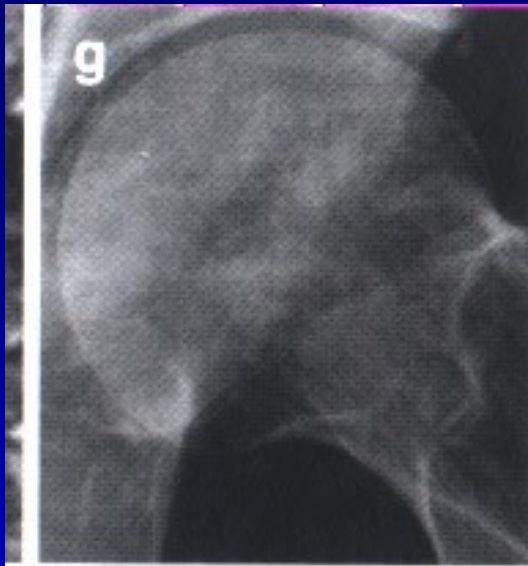
Osteotomie -varizační, valgizační, derotační

Vaskularizované kostní štěpy- free vascularized fibular graft
s peroneální tepnou a vénou do r. ascendes a. circumflexa fem. lat.
a žily. - u stadia II a III.

Nevaskularizované štěpy – horší výsledky.

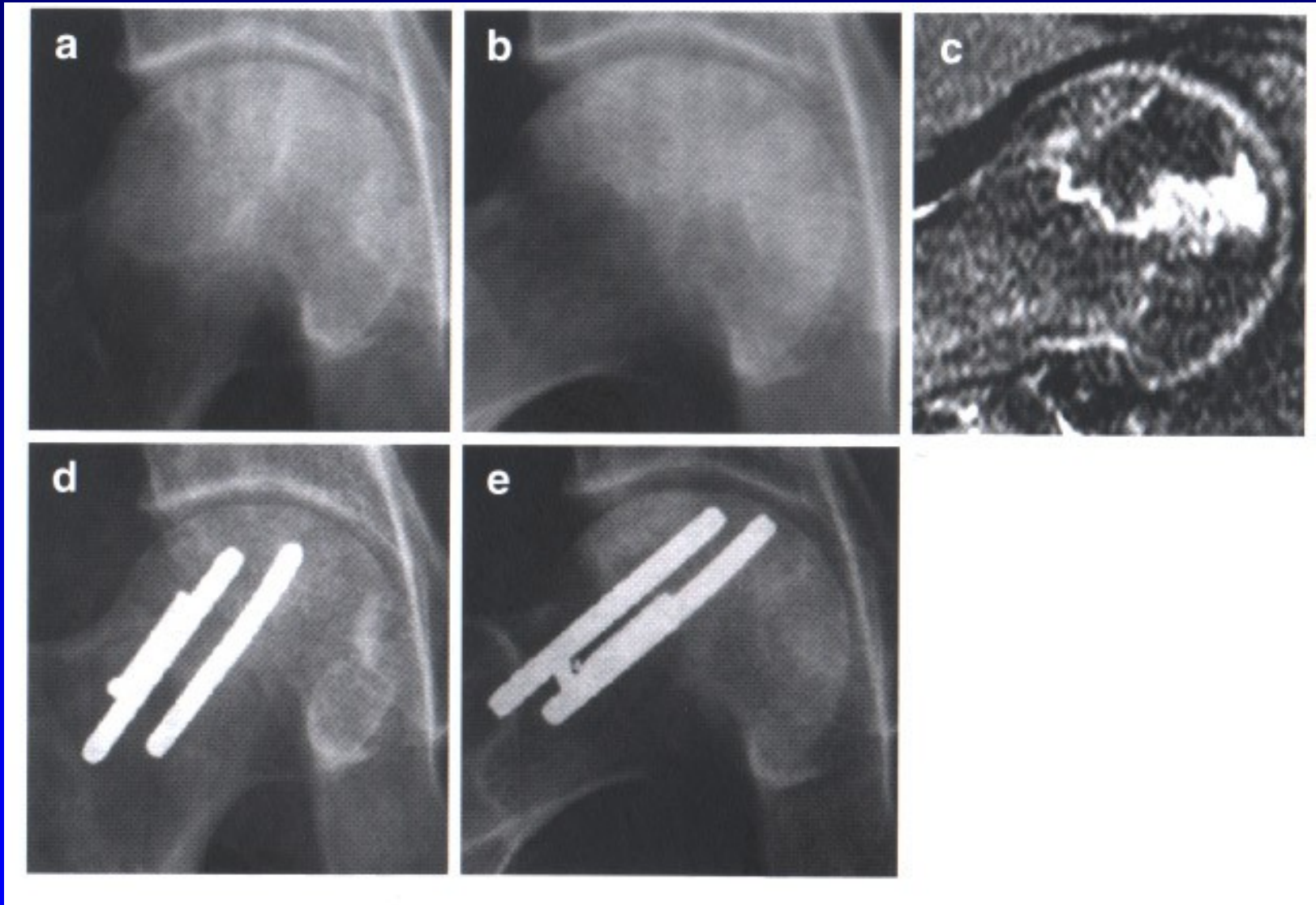
Mnohočetné drobné návrty + kmenové buňky a BMP

TEP



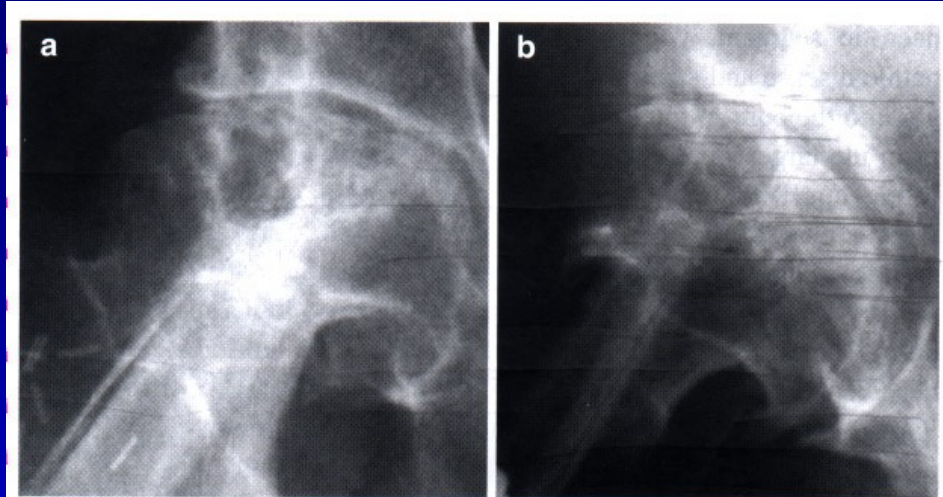
Preop.

Vaskul. fibul graft
5 roku po op.

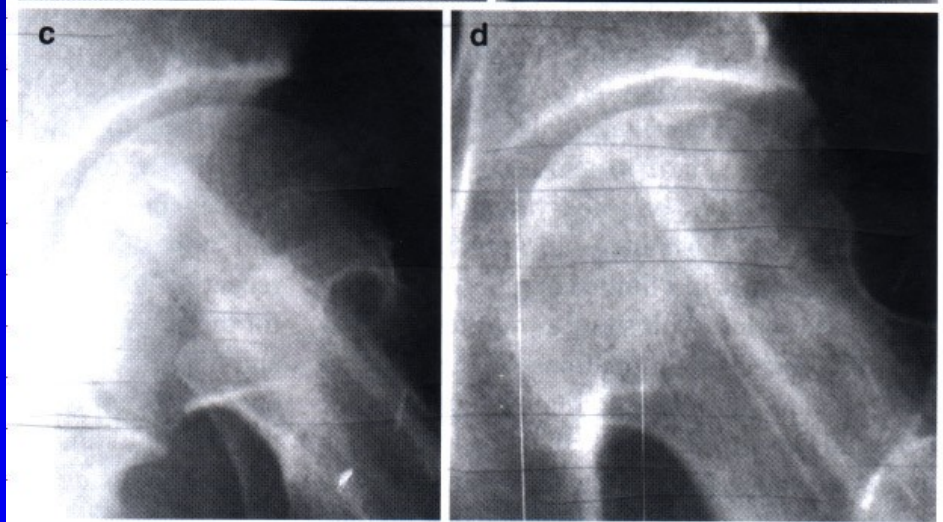


Trabecular metal Tantalum tyčky
4 roky po op.

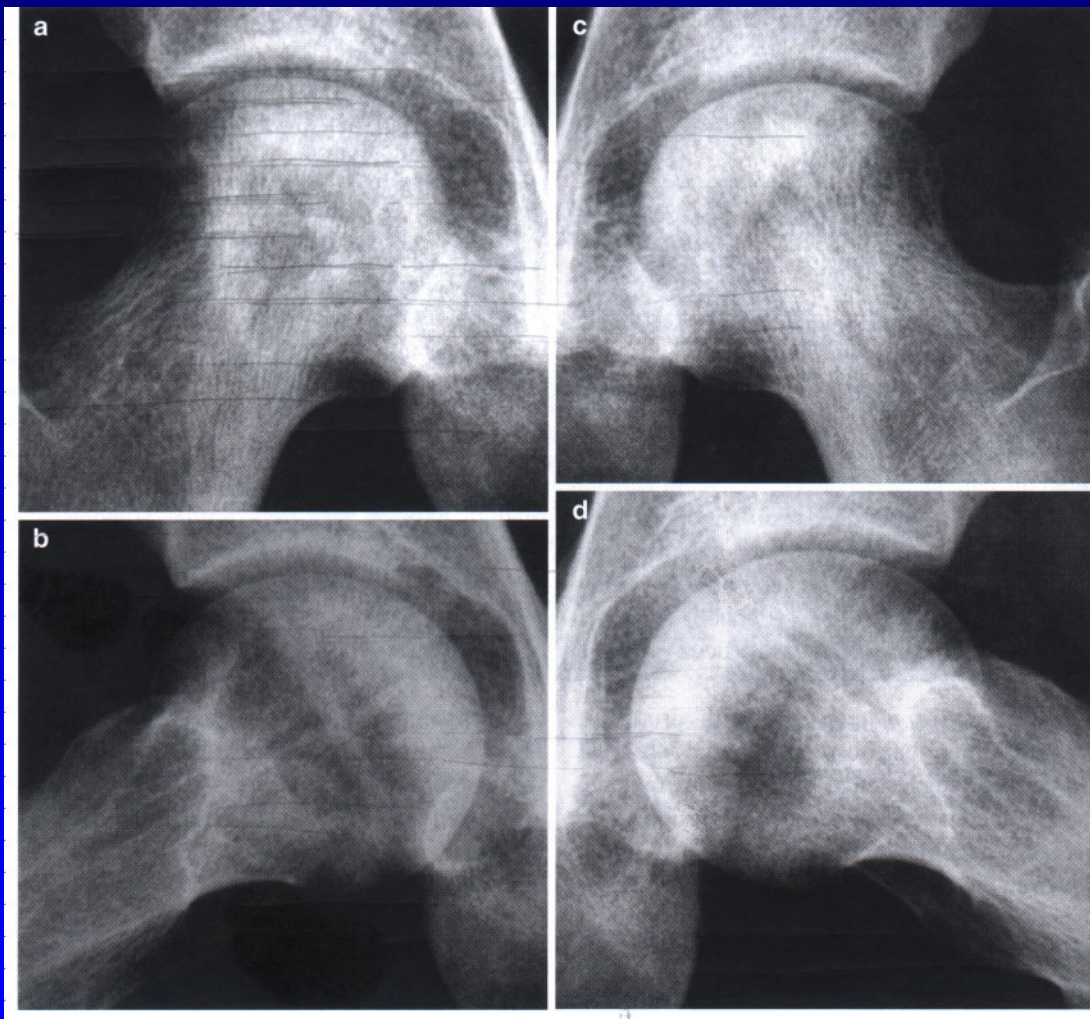
11 roků po op.
Nechce TEP



10 r. po op.
Asymptomatic.



Vasku. Fibul štěp,

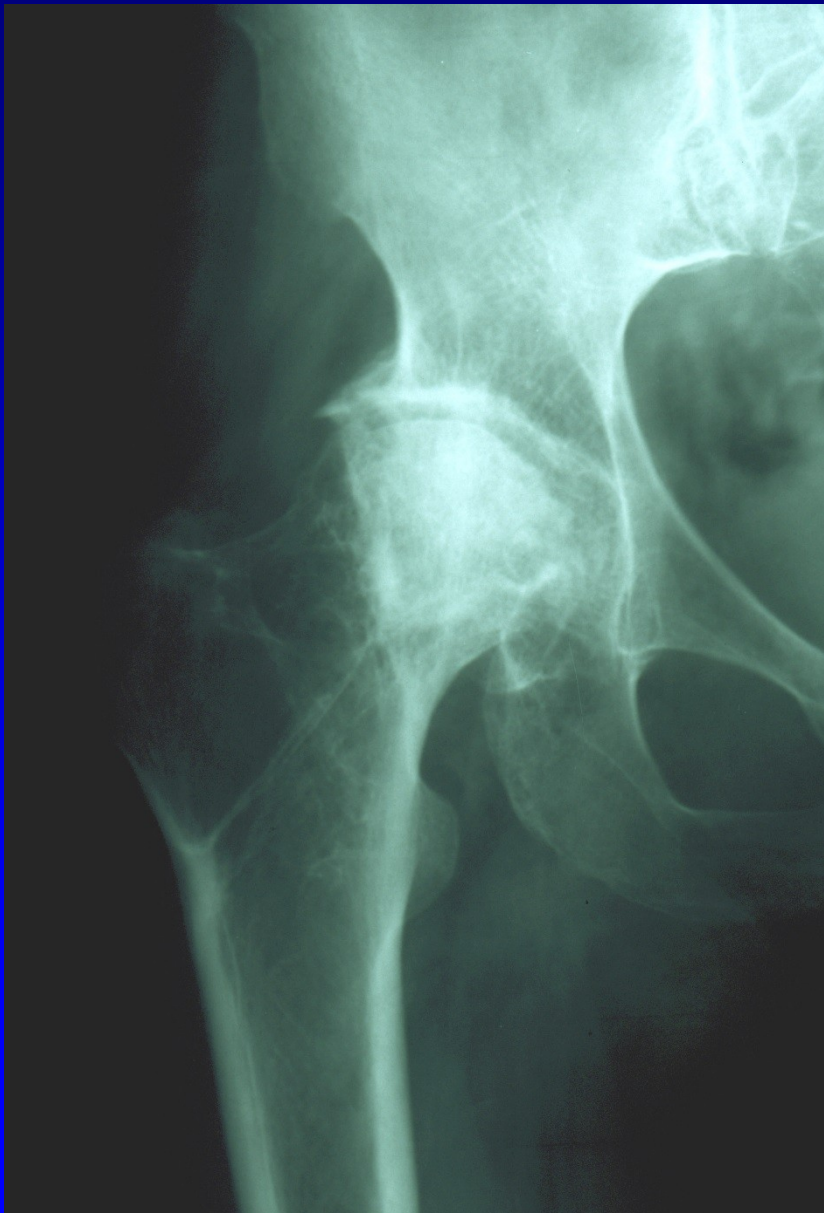


LED, perkutánní drilling – Steinman pin

Jiné typy nekróz hlavice femuru

Nekróza hlavice
femuru po fraktuře
krčku

Obr. 41



Jiné typy nekróz hlavice femuru

Nekróza hlavice
femuru po coxitidě

Obr. 42



M. Panner - osteonekróza capitulum humeri

Vertebra plana Calvé

Nekróza zadní apofýzy kosti patní

m. Osgood- Schlatter - prox. apofýza tibie

Nekróza sesamských kůstek palce nohy

M. Ahlbäck – nekróza kondylu femuru

Traumatické kostní nekrózy epifýz

Deformity v důsledku jiných chorob

Záněty

Metabolické choroby

Neurologické choroby

Svalová onemocnění

Endokrinní choroby

Krevní choroby

Použitá literatura

Janíček, P.: Ortopedie. Lékařská fakulta MU v Brně,
2001.

Spoluautoři: Dufek, P., Chaloupka, R., Krbec, M.,
Poul, J., Procházka, P., Rozkydal, Z.

Ilustrace použity z těchto publikací

Edmonson A.S., Crenshaw, A.H. : Campbell's
Operative Orthopaedics. Sixth Edition,
The C.V. Mosby Company, 1980.
Obr. 19,20,27,33,34,35.

Netter, F.: The CIBA collection of medical illustrations
Vol. 8, part. I, II., Ciba-Geigy Corporation, 1990.
Obr. 5,8,9,10,11,12,13,14,15,16,17,18,22,24,25,30,31,32.

Bartoňíček, J., Heřt, J.: Základy klinické anatomie
Pohybového aparátu. Maxdorf, Jesenius, 2004.
Obr. 2

Ilustrace použity z těchto publikací

Turek, S.: Orthopaedics. J.B. Lippincott Company,
Third Edition, 1977
Obr. 6,38,40.

Frejka, B.: Základy ortopedické chirurgie. Avicenum
Praha, 1970
Obr. 3,21,26,28,29,36,37.

Janíček, P.: Ortopedie. Masarykova univerzita, 2001.
Obr. 4.